

УДК 621.937

ИССЛЕДОВАНИЕ КОНТАКТНОГО ВЗАИМОДЕЙСТВИЯ ВЫХОДНОГО ТОРЦА УЛЬТРАЗВУКОВОГО ПРЕОБРАЗОВАТЕЛЯ, УСТАНОВЛЕННОГО НА МАЯТНИКОВОМ ПОДВЕСЕ, С ЖЕСТКИМ ОСНОВАНИЕМ

*Докт. техн. наук, проф. КИСЕЛЕВ М. Г., канд. техн. наук, доц. ДРОЗДОВ А. В.,
канд. техн. наук НОВИКОВ А. А., НЕСКИНА А. А., СТОЛЯРОВ А. А.*

Белорусский национальный технический университет

Одним из направлений существенного повышения производительности и качества механической обработки материалов является использование энергии ультразвука [1, 2]. Его интенсифицирующее воздействие в процессах поверхностной обработки материалов главным образом связано с явлениями, протекающими на границе контактирующих тел и обусловленными изменениями кинематики и динамики их взаимодействия, а также граничной диссирипции акустической энергии.

На рис. 1 приведены типовые технологические схемы ультразвуковой поверхностной обработки материалов. Источником ультразвуковых колебаний служит акустическая система, состоящая из магнитострикционного или пьезокерамического преобразователя 1, соединенного с концентратором 2, на выходном конце ко-

торого жестко закреплен инструмент 3. В узловом сечении концентратора выполнен фланец 4, посредством которого акустическая система устанавливается в корпусе 5, образуя таким образом акустическую головку. Последняя монтируется на направляющих 6, обеспечивающих ее плавное с минимальным трением перемещение по направлению к обрабатываемой поверхности заготовки 7, для чего, как правило, используются высокоточные направляющие качения.

В связи с тем, что масса акустической головки вместе с направляющими оказывается значительной (рис. 1а), для создания необходимого статического усилия прижима инструмента к обрабатываемой заготовке P_{cr} применяется устройство для ее разгрузки, состоящее из трюбочальной системы 8 и грузов-противовесов 9.

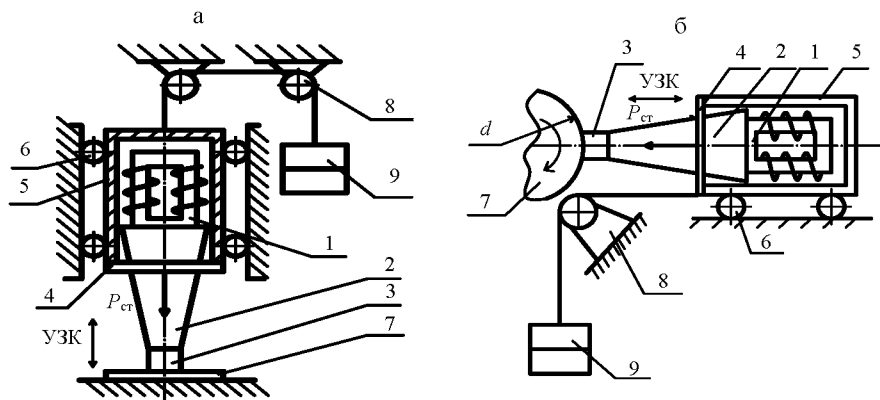


Рис. 1. Технологическая схема ультразвуковой обработки: а – плоских поверхностей; б – поверхностей, имеющих форму тел вращения; 1 – ультразвуковой преобразователь; 2 – концентратор; 3 – инструмент; 4 – фланец; 5 – корпус; 6 – направляющие; 7 – заготовка; 8 – трособличная система; 9 – грузы

При поверхностной обработке с ультразвуком заготовок, имеющих форму тел вращения (рис. 1б), направляющие 6 располагают таким образом, чтобы корпус 5 перемещался в направлении, перпендикулярном оси вращения заготовки. В этом случае статическое усилие прижима инструмента к обрабатываемой поверхности P_{ct} создается с помощью устройства нагружения, включающего трособlocочную систему 8 и аттестованные грузы 9.

Однако использование прецизионных направляющих качения приводит к усложнению

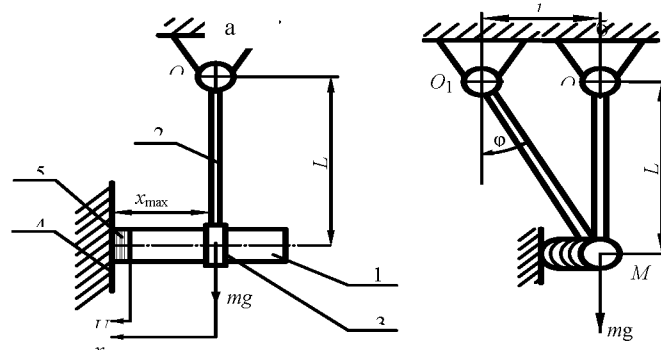
и удорожанию конструкций ультразвуковых установок, а также вызывает определенные трудности в поддержании требуемого режима взаимодействия колеблющегося инструмента с обрабатываемой поверхностью.

Для устранения указанных недостатков авторами предложено вместо направляющих качения использовать маятниковый подвес, который имеет весьма простую конструкцию и характеризуется минимальными силами трения в опорах. Для обоснования целесообразности такой замены необходимо оценить влияние предлагаемого подвеса акустической головки на условия контактного взаимодействия колеблющегося инструмента с обрабатываемой поверхностью. После чего выделить конструктивные параметры, с помощью которых можно целенаправленно влиять на силовые и временные параметры поверхностной обработки. Отмеченные обстоятельства определили цель дан-

Расчетные модели, принятые в исследованиях. Для теоретического описания условий контактного взаимодействия выходного торца ультразвукового преобразователя продольных колебаний, установленного на маятниковом подвесе, с жестким основанием воспользуемся расчетной моделью, приведенной на рис. 2а.

Ультразвуковой преобразователь заменен жестким цилиндром 1 массой m , который при помощи нерастяжимого стержня 2 длиной L связан с осью подвеса маятника (точка O). На торце цилиндра 1 (концентратора) через оправу 3 закреплен упругий невесомый элемент 5, контактирующий с поверхностью жесткого основания 4. Если пренебречь массой стержня 2, моментом сил трения в подвесе и принять, что масса ультразвукового преобразователя сосредоточена в точке M (рис. 2б), то такая модель представляет собой математический маятник.

В случае вертикального положения маятника (положение равновесия), сила тяжести mg уравновешивается силой натяжения стержня 2. При отклонении маятника на некоторый угол φ , к примеру за счет перемещения оси подвеса в горизонтальном направлении из точки O в точку O_1 на расстояние l (рис. 2б), появляется касательная составляющая силы тяжести, равная $P_{ct} = -mg \sin \varphi$, под действием которой невесомый упругий элемент 5 прижимается к поверхности жесткого основания. Знак «минус» означает, что касательная составляющая направлена в сторону, противоположную отклонению маятника. Значение угла φ определяется как $\operatorname{tg} \varphi = l/L$.



ной работы.

Рис. 2. а – расчетная модель контактного взаимодействия выходного торца ультразвукового преобразователя, установленного на маятниковом подвесе, с жестким основанием; б – принятая в исследованиях схема математического маятника; 1 – цилиндр; 2 – нерастяжимый стержень; 3 – оправа; 4 – жесткое основание; 5 – упругий невесомый элемент

Примем, что невесомый упругий элемент с учетом четности работы ультразвукового преобразователя имеет характеристику

$$U = \frac{R}{c} + A_0(1 - \cos \omega_{\text{ак}} t), \quad (1)$$

где U – текущее значение смещения упругого элемента; R – усилие, сжимающее упругий элемент; c – жесткость упругого элемента; A_0 – амплитуда ультразвуковых колебаний; $\omega_{\text{ак}}$ – круговая частота.

Обозначив $r = -\frac{R}{c}$, получим

$$U + r = A_0(1 - \cos \omega_{\text{ак}} t), \quad (2)$$

где $0 \leq U \leq 2A_0$; $0 \leq r \leq 2A_0$.

Пусть в статическом режиме взаимодействия ролика с основанием: $U_{\text{ст}} = \frac{mg \sin \varphi}{c}$,

$r_{\text{ст}} = -\frac{mg \sin \varphi}{c}$. Положим, что при взаимодействии с колебаниями в присутствии динамических составляющих $U_{\text{д}}$ и $r_{\text{д}}$ выполняется условие:

$$U = U_{\text{ст}} + U_{\text{д}}; \quad r = r_{\text{ст}} + r_{\text{д}}.$$

Тогда из формулы (2) получаем

$$U_{\text{д}} + r_{\text{д}} = A_0(1 - \cos \omega_{\text{ак}} t).$$

Исходя из отмеченных положений, рассмотрим режим взаимодействия вибрирующего стержня, установленного на маятниковом подвесе, с жестким основанием. Поведение системы в этом случае показано на рис. 3. С целью упрощения математического описания по аналогии с [3] заменим гармонический закон изменения U и r на закон треугольника. Поведение системы в этом случае показано на рис. 3.

На этапе торможения, когда $t_1 \leq t \leq t_*$, где t_* – момент остановки, имеем:

$$R = -cr; \quad r = f(t) - U; \quad f(t) = 2A_0 \frac{\omega_{\text{ак}} t}{\pi}; \\ dx = -dU.$$

Примем, что сила реакции основания за время контакта также меняется по закону треугольника и соответственно:

$$r = r_* \frac{t - t_1}{t_* - t_1}; \quad t_1 \leq t \leq t_*.$$

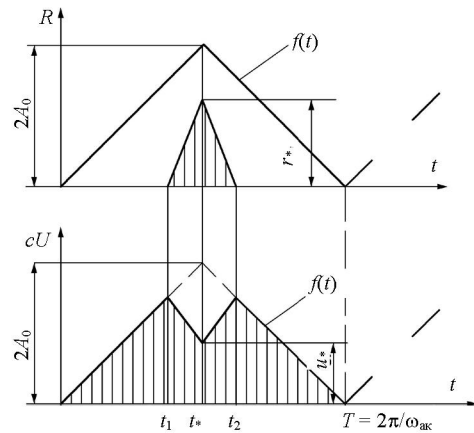


Рис. 3. Характер изменения R и cU за период ультразвуковых колебаний при замене гармонического закона на закон треугольника

Используя теоремы о кинетической энергии и изменении количества движения на этапе торможения взаимодействующих элементов, в [3] получены выражения для определения времени их контакта t_k за период ультразвуковых колебаний T , величины силы реакции основания r_* и ее импульса I за время контакта. Применимально к рассматриваемому варианту установки преобразователя на маятниковом подвесе эти выражения имеют вид:

$$t_k = \frac{4mg \pi \sin \varphi}{A_0 \omega_{\text{ак}} c} C; \quad (3)$$

$$r_* = \frac{2mg \sin \varphi}{c} \ddot{A}; \quad (4)$$

$$I = cr_* t_k = \frac{8m^2 g^2 \pi \sin^2 \varphi}{A_0 \omega_{\text{ак}} c} C \bar{D}; \quad (5)$$

$$\text{где } \bar{D} = 1 + \frac{\beta}{C}; \quad C = \frac{1 + \sqrt{1 + 4(\alpha + \beta)}}{2 \left(1 + \frac{\alpha}{\beta} \right)}.$$

Значения безразмерных коэффициентов:

$$\alpha = \frac{mv_1^2 c}{4(mg \sin \varphi)^2}; \quad \beta = \frac{A_0 m \omega_{\text{ак}} v_1 c}{\pi (mg \sin \varphi)^2},$$

где v_1 – скорость установленного на маятниковом подвесе ультразвукового преобразователя

в момент соударения упругого невесомого элемента с поверхностью жесткого основания,

$$v_1 = 2\sqrt{g(A_0 - 2x_{cr})}; \quad x_{cr} = \frac{mg \sin \varphi}{c}.$$

Если $A_0 \leq 2x_{cr}$, то имеет место безотрывный режим взаимодействия поверхностей в линейной замкнутой колебательной системе ($v_1 = 0$). В том случае, когда $A_0 > 2x_{cr}$, система переходит в разряд нелинейных, что обусловлено нелинейным изменением коэффициентов C и D , и в ней устанавливается виброударный режим контактного взаимодействия поверхностей.

Исходя из этого, критический угол φ_{kp} , при котором система переходит в режим виброударного взаимодействия поверхностей, может быть определен из следующего неравенства:

$$|\sin \varphi_{kp}| < \frac{cA_0}{2mg}. \quad (6)$$

Откуда, $\varphi_{kp} < \arcsin \frac{cA_0}{2mg}$.

Таким образом, использование маятникового подвеса ультразвукового преобразователя позволяет обеспечить виброударный (рабочий) режим взаимодействия выходного торца концентратора с поверхностью жесткого основания и одновременно значительно упростить конструкцию технологического оборудования в сравнении с оборудованием, в котором применяются направляющие качения и грузы-про-

тивовесы. При этом повышаются точность и плавность регулирования величины предварительного натяга в акустической колебательной системе, которая определяет режим ее работы.

Достоинством маятникового подвеса является также то, что за счет изменения длины маятника L можно соответствующим образом изменять собственную частоту колебаний системы ω_0 , значение которой рассчитывается по формуле

$$\omega_0 = \frac{2\pi}{\sqrt{\frac{L}{g}}}. \quad (7)$$

Кроме того, эту частоту можно изменять за счет введения в конструкцию упругого элемента, который одновременно может быть использован для создания предварительного натяга.

Так, на рис. 4а показана принципиальная схема маятникового подвеса ультразвукового преобразователя, в котором применена пружина растяжения 1. Одним концом на расстоянии p от точки подвеса маятника она соединена со стержнем 2, а другим связана с устройством ее натяжения 3. В этом случае за счет ее растяжения создается предварительный натяг в акустической колебательной системе

$$x_{cr} = \frac{P_{cr}}{c} = \frac{c_n x_n p}{L c}, \quad (8)$$

где c_n – жесткость пружины; x_n – величина ее растяжения.

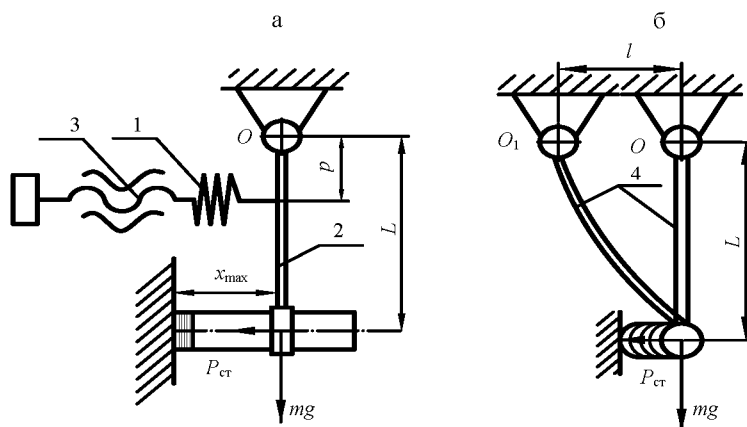


Рис. 4. Схемы маятникового подвеса ультразвукового преобразователя с использованием упругого элемента: а – пружины растяжения; б – плоской пружины; 1 – пружина растяжения; 2 – нерастяжимый стержень; 3 – устройство натяжения пружины; 4 – плоская пружина

В качестве упругого элемента может быть использована плоская пружина 4 (рис. 4б), одновременно выполняющая роль упругого стержня маятника. Один ее конец жестко закреплен на подвесе маятника, а второй соединен с ультразвуковым преобразователем. Предварительный натяг в акустической колебательной системе обеспечивается путем перемещения оси подвеса маятника на величину Δ из точки O в точку O_1 . В результате происходит упругая деформация плоской пружины, создающая усилие прижима выходного торца концентратора ультразвукового преобразователя к обрабатываемой поверхности. Величина предварительного натяга в акустической колебательной системе определяется по формуле

$$x_{\text{ст}} = \frac{P_{\text{ст}}}{c} = \frac{P_{\text{ст}} l^3}{3B}, \quad (9)$$

где $B = EJ$ – изгибная жесткость плоской пружины; $J_{\text{и}} = bh^3/12$ – момент инерции площади прямоугольного сечения плоской пружины; E – модуль упругости материала пружины; l – величина деформации пружины.

Помимо рассмотренных могут быть реализованы и другие варианты маятникового подвеса ультразвукового преобразователя с использованием в его конструкции упругих элементов, позволяющих с учетом конкретных условий обработки обеспечить требуемое значение собственной частоты колебаний акустической системы, а также использовать наиболее приемлемый механизм создания в ней предварительного натяга.

ВЫВОДЫ

1. Предложены расчетная модель контактного взаимодействия торца ультразвукового преобразователя, установленного на маятниковом подвесе, с жестким основанием и соответствующая этим условиям схема математического маятника, позволившие исследовать влияние конструктивных параметров маятникового подвеса и условий его нагружения на режим работы акустической колебательной системы.

2. Получены аналитические зависимости, позволяющие рассчитать временные и силовые параметры контактного взаимодействия выход-

ного торца ультразвукового преобразователя, установленного на маятниковом подвесе, с жестким основанием, учитывающие амплитуду ультразвуковых колебаний, массу преобразователя, длину маятника и угол его отклонения.

3. Показано, что при прочих равных условиях угол отклонения ультразвукового преобразователя, установленного на маятниковом подвесе, задает величину статического усилия прижатия его выходного торца к поверхности жесткого основания, т. е. величину предварительного натяга в акустической колебательной системе $x_{\text{ст}}$, которая определяет режим ее работы (безотрывный или виброударный).

4. Установлено, что для обеспечения виброударного режима взаимодействия выходного торца ультразвукового преобразователя с жестким основанием необходимо, чтобы значение амплитуды ультразвуковых колебаний A_0 превышало удвоенную величину предварительного натяга ($A_0 > 2x_{\text{ст}}$) в акустической колебательной системе. Исходя из этого получено выражение для вычисления критического угла отклонения преобразователя $\Phi_{\text{кр}}$, установленного на маятниковом подвесе, при котором безотрывный режим работы акустической системы сменяется виброударным режимом взаимодействия выходного торца ультразвукового преобразователя с жестким основанием.

5. Предложены варианты конструктивного исполнения маятникового подвеса ультразвукового преобразователя с использованием различных упругих элементов, которые позволяют с учетом конкретных условий обработки обеспечить требуемое значение собственной частоты колебаний акустической системы, а также создавать в ней необходимую величину предварительного натяга.

ЛИТЕРАТУРА

- Северденко, В. П. Ультразвук и пластичность / В. П. Северденко, В. В. Клубович, А. В. Степаненко. – Минск: Наука и техника, 1976. – 448 с.
- Марков, А. И. Ультразвуковая обработка материалов / А. И. Марков. – М.: Машиностроение, 1980. – 237 с.
- Киселев, М. Г. Ультразвук в поверхностной обработке материалов / М. Г. Киселев, В. Т. Минченя, В. А. Ибрагимов; под ред. М. Г. Киселева. – Минск: Тесей, 2001. – 344 с.

Поступила 05.05.2010